

Санкт-Петербургский политехнический университет Петра Великого  
Институт прикладной математики и механики  
Высшая школа прикладной математики и вычислительной физики

# Методы решения нелинейных задач

Отчёт по лабораторной работе №5  
”ДВУСТОРОННИЕ МЕТОДЫ ДЛЯ ОБЫКНОВЕННЫХ  
ДИФФЕРЕНЦИАЛЬНЫХ УРАВНЕНИЙ”

**Работу**

**выполнила:**

студентка I курса

магистратуры

Добрецова Е.В.

Группа:

5040102/40101

**Преподаватель:**

Фролов М.Е.

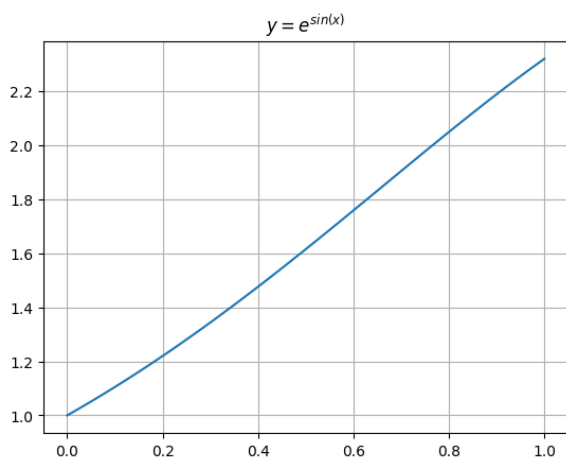
Санкт-Петербург  
2025

# 1. Постановка задачи

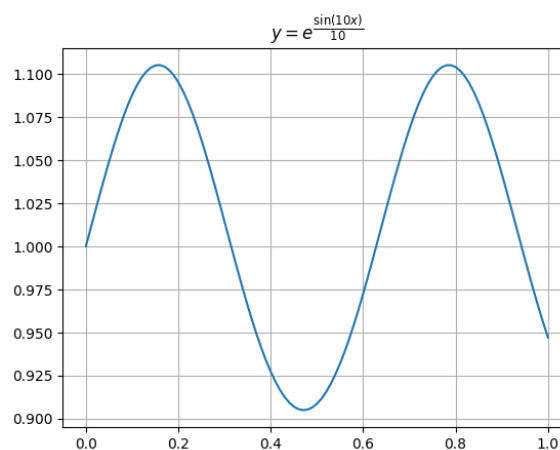
Необходимо на основе метода Рунге-Кутты построить двусторонние оценки решения следующей задачи Коши:

$$\begin{cases} y'(x) = y \cos(tx) \\ y(0) = 1 \end{cases}$$

Точным решением этой задачи является функция  $y(x) = e^{\frac{\sin(tx)}{t}}$ .



(a)  $t = 1$



(b)  $t = 10$

Рисунок 1.1. Точное решение задачи Коши при различных значениях параметра

## 2. Цель работы

Требуется на примере данной задачи исследовать эффективность двустороннего метода и сравнить его с методом Эйлера. Сравнение методов нужно провести при различных значениях параметра  $t$ , рассмотрев сетки с шагом  $h = 0.01$ ,  $h = 0.005$  и  $h = 0.0025$ .

## 3. Алгоритмы методов

Поставлена задача Коши:

$$\begin{cases} y'(x) = f(x, y) \\ y(a) = y_0 \end{cases}$$

Необходимо вычислить значения функции  $y$  на множестве узлов  $\{x_i\}_{i=0}^n$ , где  $x_0 = a$ ,  $x_n = b$  и  $x_i < x_{i+1}$ . В данной лабораторной работе рассматриваются вычислительные схемы, относящиеся к группе методов Рунге-Кутты. Они основаны на использовании для перехода от узла  $x_i$  к узлу  $x_{i+1}$  определенного количества слагаемых из разложения функции  $y$  в ряд Тейлора:

$$y(x+h) = y(x) + hy'(x) + \frac{h^2}{2}y''(x) + \frac{h^3}{6}y'''(x) + \dots,$$

где  $x = x_i$ ,  $h = x_{i+1} - x_i$ .

### 3.1. Метод Эйлера

Метод Эйлера является простейшим из группы методов Рунге-Кутты. Его вычислительная схема выглядит следующим образом:

$$y(x+h) \approx y(x) + hf(x, y)$$

### 3.2. Двусторонний метод Рунге-Кутты

Двусторонний метод использует две независимые аппроксимации решения с различными коэффициентами, что позволяет получить верхнюю и нижнюю границы для значения  $y(x)$  на каждом шаге.

Первый шаг метода: двусторонние оценки для  $x_1$ .

Вычислим три промежуточных значения:

$$K_1 = f(x, y)$$

$$K_2 = f(x + h\alpha_2, y + h\beta_{21}K_1)$$

$$K_3 = f(x + h\alpha_3, y + h(\beta_{31}K_1 + \beta_{32}K_2)),$$

где  $\alpha_2, \alpha_3, \beta_{21}, \beta_{31}, \beta_{32}$  - коэффициенты метода, обеспечивающие его порядок точности. На основе этих значений строятся две различные оценки для  $y(x_1) = y(x_0 + h)$ :

$$y^{(1)}(x+h) = y(x) + h(p_1K_1 + p_2K_2 + p_3K_3)$$

$$y^{(2)}(x+h) = y(x) + h(\tilde{p}_1K_1 + \tilde{p}_2K_2 + \tilde{p}_3K_3)$$

Коэффициенты  $p_1, p_2, p_3$  и  $\tilde{p}_1, \tilde{p}_2, \tilde{p}_3$  подобраны так, чтобы одна из формул переоценивала точное решение, а другая - недооценивала его.

В результате на первом узле  $x_1$  получаем две границы для точного значения:

$$\min(y^{(1)}, y^{(2)}) \leq y(x_1) \leq \max(y^{(1)}, y^{(2)})$$

Таким образом, на первом узле мы получаем 2 приближённых значения.

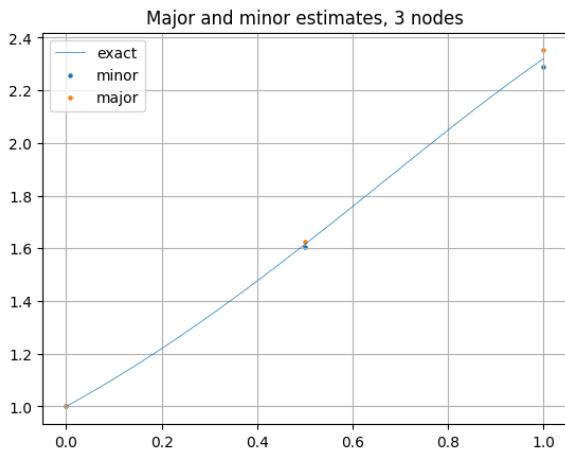
Построение двусторонней оценки на  $i$ -м узле

На каждом шаге строятся два новых значения на основе каждого из полученных на предыдущем шаге. Таким образом, на каждом следующем шаге количество аппроксимаций удваивается, следовательно, на  $i$ -м узле получается  $2^i$  значений. Среди них выбираются максимальное и минимальное. Эти границы обеспечивают интервал, в который попадёт точка решения.

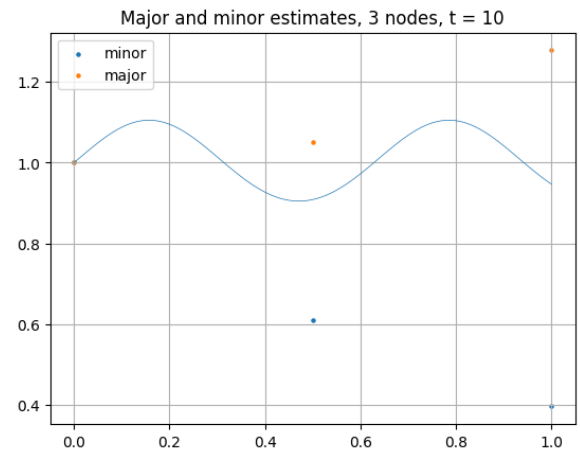
## 4. Результаты

### 4.1. Визуализация двусторонних оценок

Построим графики решения ДУ двусторонним методом Рунге-Кутты. Для наглядности выберем малое число узлов.

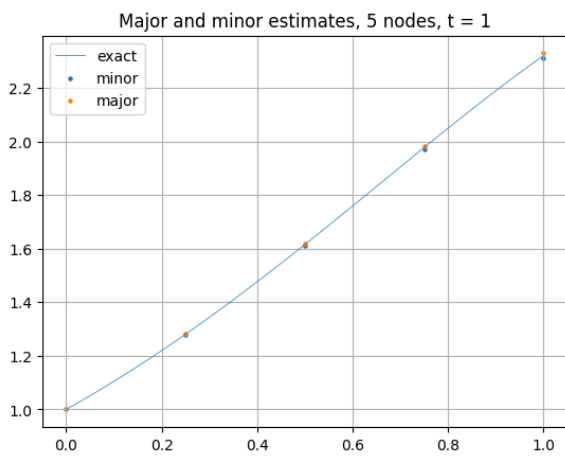


(a)  $t = 1$

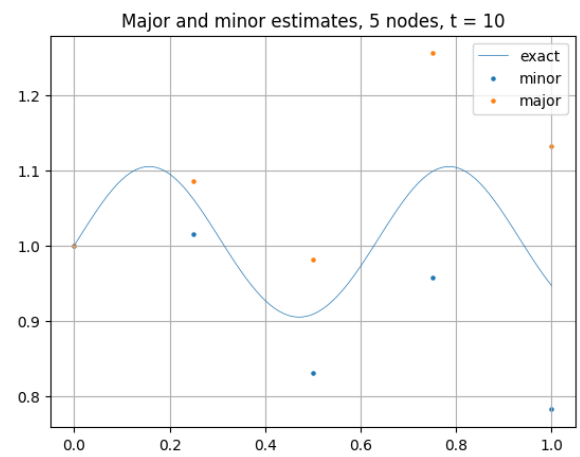


(b)  $t = 10$

Рисунок 4.1. Двусторонние оценки при 5 узлах и различных значениях параметра

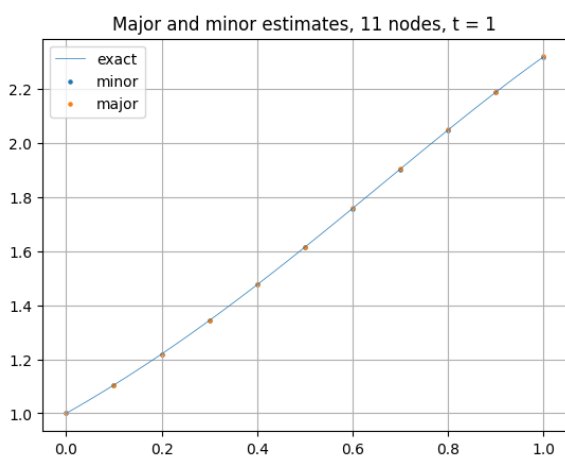


(a)  $t = 1$

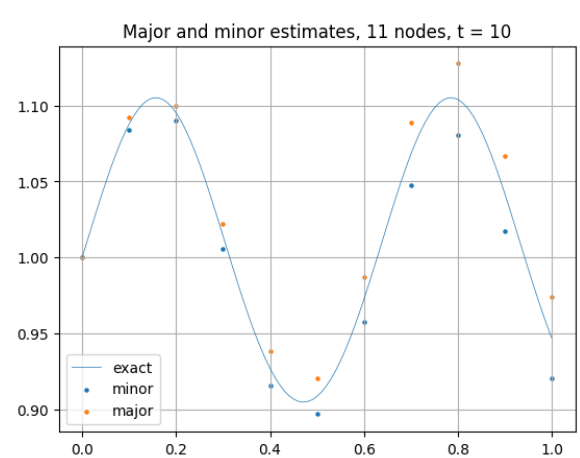


(b)  $t = 10$

Рисунок 4.2. Двусторонние оценки при 5 узлах и различных значениях параметра



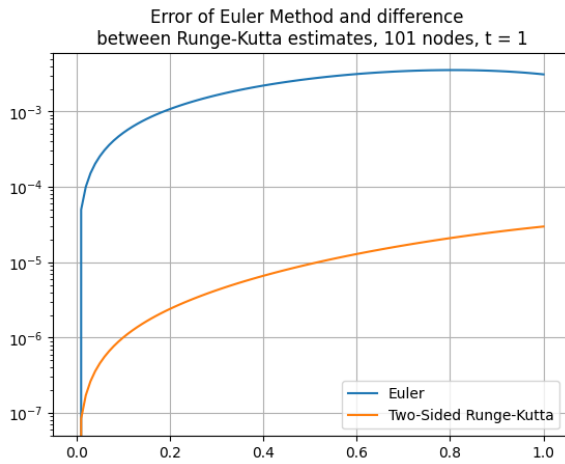
(a)  $t = 1$



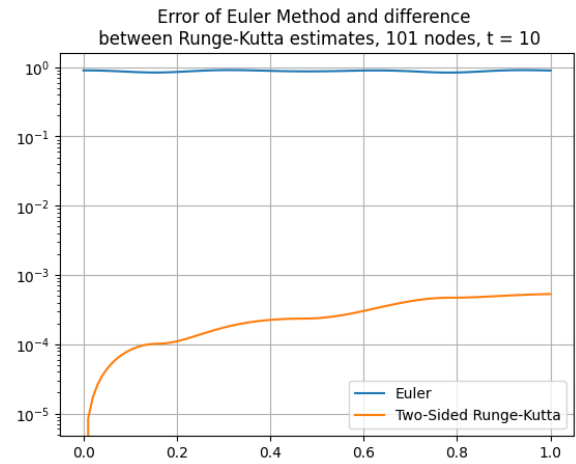
(b)  $t = 10$

Рисунок 4.3. Двусторонние оценки при 11 узлах и различных значениях параметра

## 4.2. Сравнение погрешностей метода Эйлера и двустороннего метода Рунге-Кутты

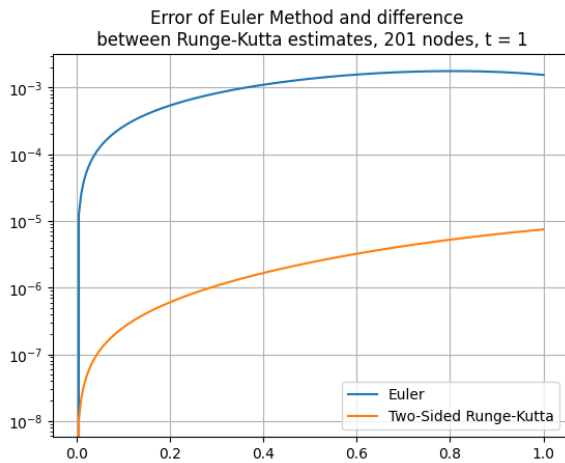


(a)  $t = 1$

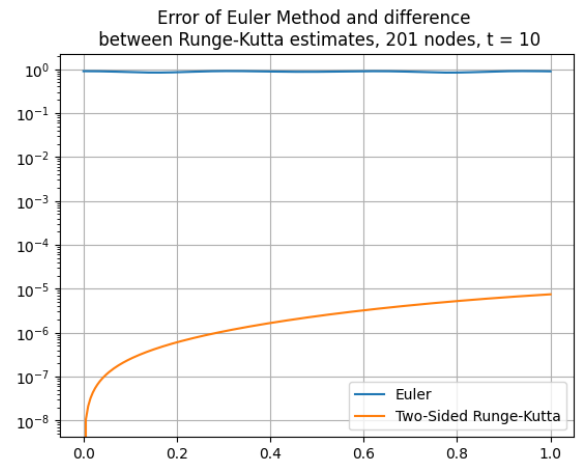


(b)  $t = 10$

Рисунок 4.4. Двусторонние оценки при 101 узлах и различных значениях параметра

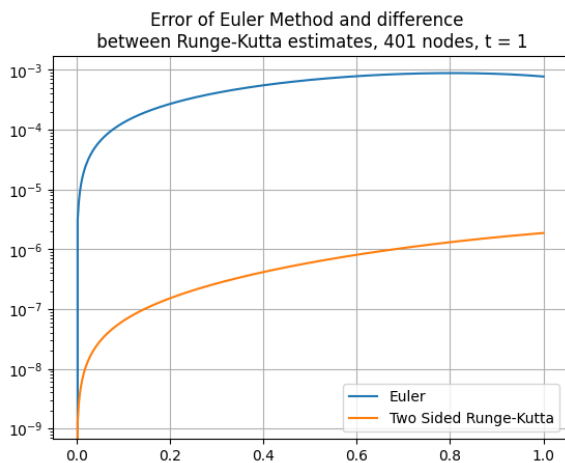


(a)  $t = 1$

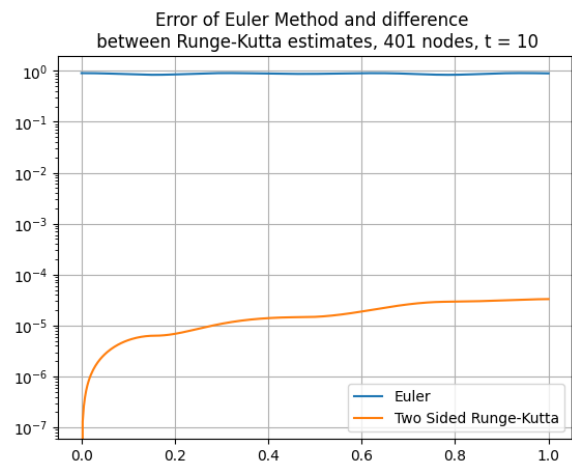


(b)  $t = 10$

Рисунок 4.5. Двусторонние оценки при 201 узлах и различных значениях параметра



(a)  $t = 1$



(b)  $t = 10$

Рисунок 4.6. Двусторонние оценки при 401 узлах и различных значениях параметра

## 5. Выводы

В ходе выполнения работы был реализован алгоритм двустороннего метода Рунге-Кутты, проведено исследование его эффективности и выполнено сравнение с методом Эйлера на примере двух задач Коши с известным точным решением.

Анализ результатов показал, что метод Рунге-Кутты значительно превосходит метод Эйлера по точности. В случае задачи, точное решение которой имеет производную одного знака на заданном отрезке, преимущество двустороннего метода выражается в разнице порядка 2–3 десятичных разрядов. Однако при решении задачи, в которой производная изменяет знак, двусторонний метод Рунге-Кутты демонстрирует явное превосходство: метод Эйлера оказывается практически неприменим из-за высокой ошибки, в то время как метод Рунге-Кутты остаётся работоспособным и даёт значительно более точные результаты. При этом наблюдается небольшое снижение точности по сравнению с задачей, где производная не меняет знак.

Основным недостатком двустороннего метода Рунге-Кутты является его высокая вычислительная сложность. На узле с номером  $i$  необходимо определять минимум и максимум среди  $2^i$  значений, что значительно увеличивает затраты на вычисления.